



SPRAWOZDANIE NR OS/0141/24

Z POMIARÓW NATĘŻENIA PÓL ELEKTROMAGNETYCZNYCH

WYKONANYCH DLA CELÓW OCHRONY ŚRODOWISKA

Miejsce wykonania badania: <small>(dane uzyskane od zleceniodawcy)</small>	JRS7117A	
	37-560 Rozbórz Długi, dz. nr 776, pow. jarosławski, woj. PODKARPACKIE	
Współrzędne geograficzne:	22°29'16.50"E 49°56'02.20"N	
Data wykonania pomiarów:	07.02.2024	
Data wydania sprawozdania:	09.02.2024	
Zleceniodawca:	P4 sp. z o.o. ul. Wynałazek 1 02-667 Warszawa	
Sprawozdanie wykonał:	Sprawdził:	Autoryzował:
Mateusz Maliszewski <small>Specjalista ds. analiz i wizualizacji wyników</small>	Mgr inż. Maciej Konieczny <small>Kierownik Laboratorium</small>	Mgr inż. Wojciech Lubiński <small>Kierownik ds. jakości</small>

1. INFORMACJE O UŻYTKOWNIKU

1.1. Zleceniodawca: P4 sp. z o.o. ul. Wynalazek 1, 02-667 Warszawa

1.2. Charakterystyka obiektu:

- **Typ obiekt:** Instalacja radiokomunikacyjna zainstalowana na wieży kratowej
- **Numer obiektu:** JRS7117A
- **Adres obiektu:** 37-560 Rozbórz Długi, dz. nr 776, pow. jarosławski, woj. PODKARPACKIE
- **Współrzędne geograficzne:** 22°29'16.50"E 49°56'02.20"N

2. CHARAKTERYSTYKA ŹRÓDEŁ PEM (dane pozyskane od Klienta)

Tabela 1. Parametry systemu nadawczo-odbiorczego

Charakterystyka promieniowania				kierunkowa					
Rzeczywisty czas pracy [h/dobę]				Całodobowa 24h					
Warunki pracy				Znamionowe					
Rodzaj wytwarzanego pola				stacjonarne					
Lp.	Typ nadajnika	Antena Producent / Typ	Azymut [°]	Wysokość środku elektr. anteny [m n.p.t.]	Pasma [Mhz]	Kąt nachylenia [°]	EIRP dla anteny [W]	LON	LAT
1	RBS6xxx/2xxx/4xxx	Huawei ADU4518R7	0	53	800	0 - 12	13120	22°29'16.50"E	49°56'02.20"N
	RBS6xxx/2xxx/4xxx				1800	2 - 12		22°29'16.50"E	49°56'02.20"N
	RBS6xxx/2xxx/4xxx				2100	2 - 12		22°29'16.50"E	49°56'02.20"N
2	RBS6xxx/2xxx/4xxx	Huawei ADU4518R7	0	53	800	0 - 12	13120	22°29'16.50"E	49°56'02.20"N
	RBS6xxx/2xxx/4xxx				1800	2 - 12		22°29'16.50"E	49°56'02.20"N
	RBS6xxx/2xxx/4xxx				2100	2 - 12		22°29'16.50"E	49°56'02.20"N
3	RBS6xxx/2xxx/4xxx	Huawei A704516R0	0	53,1	900	0 - 12	2023	22°29'16.50"E	49°56'02.20"N
4	RBS6xxx/2xxx/4xxx	Huawei ADU4518R7	140	53	800	0 - 12	13120	22°29'16.50"E	49°56'02.20"N
	RBS6xxx/2xxx/4xxx				1800	2 - 12		22°29'16.50"E	49°56'02.20"N
	RBS6xxx/2xxx/4xxx				2100	2 - 12		22°29'16.50"E	49°56'02.20"N
5	RBS6xxx/2xxx/4xxx	Huawei ADU4518R7	140	53	800	0 - 12	13120	22°29'16.50"E	49°56'02.20"N
	RBS6xxx/2xxx/4xxx				1800	2 - 12		22°29'16.50"E	49°56'02.20"N
	RBS6xxx/2xxx/4xxx				2100	2 - 12		22°29'16.50"E	49°56'02.20"N
6	RBS6xxx/2xxx/4xxx	Huawei A704516R0	140	53,1	900	0 - 12	2023	22°29'16.50"E	49°56'02.20"N
7	RBS6xxx/2xxx/4xxx	Huawei ADU4518R7	240	53	800	0 - 12	13120	22°29'16.50"E	49°56'02.20"N
	RBS6xxx/2xxx/4xxx				1800	2 - 12		22°29'16.50"E	49°56'02.20"N
	RBS6xxx/2xxx/4xxx				2100	2 - 12		22°29'16.50"E	49°56'02.20"N
8	RBS6xxx/2xxx/4xxx	Huawei ADU4518R7	240	53	800	0 - 12	13120	22°29'16.50"E	49°56'02.20"N
	RBS6xxx/2xxx/4xxx				1800	2 - 12		22°29'16.50"E	49°56'02.20"N
	RBS6xxx/2xxx/4xxx				2100	2 - 12		22°29'16.50"E	49°56'02.20"N
9	RBS6xxx/2xxx/4xxx	Huawei A704516R0	240	53,1	900	0 - 12	2023	22°29'16.50"E	49°56'02.20"N

Tabela 2. Parametry radiolinii

Charakterystyka promieniowania				kierunkowa					
Rzeczywisty czas pracy [h/dobę]				24					
Rodzaj wytwarzanego pola				stacjonarne					
Linia radiowa				Antena					
Lp.	Typ nadajnika	Częstotliwość pracy [GHz]	Moc wyjściowa [dBm]	Typ/producent	Średnica anteny [m]	Azymut [°]	Wysokość zainstal. [m]	LON	LAT
1	OPTIX RTN/HUAWEI	32	26	0.3-32(A32D03)	0,3	183	50,2	22°29'16.50"E	49°56'02.20"N

Inne źródła PEM: W obszarze pomiarowym badanego obiektu **nie występują** inne źródła promieniowania pola elektromagnetycznego, które w zakresie badanych częstotliwości bezpośrednio wpływają na wynik wartości mierzonej natężenia pola.

3. OPIS POMIARÓW

Cel badań: Sprawdzenie dotrzymania dopuszczalnych poziomów pól elektromagnetycznych, w otoczeniu instalacji wytwarzających takie pola.

3.1. Data pomiarów: 07.02.2024

3.2. Warunki pomiarów

Data pomiarów	Godzina		Opady	Temperatura [C]		Wilgotność [%]	
	rozpoczęcia pomiarów	zakończenia pomiarów		Minimalna	Maksymalna	Minimalna	Maksymalna
07.02.2024	10:45	12:15	Brak	4,5	4,8	72,3	73,0

3.3. Nazwiska osób wykonujących pomiary: Bartosz Piotrowski

3.4. Osoba towarzysząca: brak

3.5. Aparatura pomiarowa:

Tabela 3. Opis zestawu pomiarowego

Nazwa	Typ/model	Numer fabryczny/SN	Świadectwo wzorcowania	Zastosowanie
Szerokopasmowy miernik natężenia pola elektromagnetycznego	NBM- 520	D-2228	LWiMP/W/088/22 z dnia 19.05.2022 (Laboratorium Wzorców i Metrologii Pola Elektromagnetycznego Instytutu Telekomunikacji, Teleinformatyki i Akustyki Politechniki Wrocławskiej)	Pomiary pola elektromagnetycznego
Sonda pomiarowa pola elektrycznego	EF-9091	A-0139		
Szerokopasmowy miernik natężenia pola elektromagnetycznego	NBM- 520	D-2188		
Sonda pomiarowa pola elektrycznego	EF-0691	J-0214		
Termohigrometr	ETI 600 224-600	D22060186	LPTW/326/2022 z dnia 10.05.2022 (LPTW)	Pomiary wilgotności względnej powietrza Pomiary temperatury powietrza
Dalmierz laserowy	PLR30C	221208895	45854/1 /2022 z dnia 17.05.2022 (Laboratorium pomiarowe LABOTRONIC)	Pomiar odległości
Odbiornik GPS	Garmin GLO2	1792A-A1156/5PS066633	-	Pomiar współrzędnych geograficznych

3.6. Wyznaczenie niepewności pomiarów:

Ocenę niepewności przyjmuje się zgodnie z procedurą stosowaną w laboratorium.

Wyznaczona rozszerzona niepewność pomiaru dla współczynnika rozszerzenia $k = 2$ dla zestawu pomiarowego z pkt.3.5 w dniu pomiaru wynosi 21,46%.

3.7. Kryteria przedstawiania stwierdzeń zgodności

Niniejsze sprawozdanie zgodnie z zasadami systemu akredytacji zawiera stwierdzenia zgodności.

W przypadku badań poziomów pola elektromagnetycznego w środowisku stwierdzenie zgodności dotyczy rozstrzygnięcia, czy zmierzona wartość opisująca pole elektromagnetyczne przekracza wartość dopuszczalną dla zakresu częstotliwości, w którym pracują źródła podane w Rozporządzeniu Ministra Zdrowia z dnia 17 grudnia 2019 r. w sprawie dopuszczalnych poziomów pól elektromagnetycznych w środowisku (Dz. U. z 2019 r. poz. 2448).

3.8. Metodyka wykonania pomiarów:

Zastosowano metodę znormalizowaną w oparciu o Rozporządzenie Ministra Klimatu i Środowiska z dnia 6 maja 2022 r. zmieniające rozporządzenie w sprawie sposobów sprawdzania dotrzymania dopuszczalnych poziomów pól elektromagnetycznych w środowisku (Dz.U. 2022 poz. 1121).

3.9. Przepisy prawne:

- Ustawa z dnia 27 kwietnia 2001 r. Prawo ochrony środowiska (Dz.U. 2024 r. poz. 54).
- Rozporządzenie Ministra Zdrowia z dnia 17 grudnia 2019 r. w sprawie dopuszczalnych poziomów pól elektromagnetycznych w środowisku (Dz. U. z 2019 r. poz. 2448).
- Rozporządzenie Ministra Klimatu z dnia 17 lutego 2020 r. w sprawie sposobów sprawdzania dotrzymania dopuszczalnych poziomów pól elektromagnetycznych w środowisku Załącznik do obwieszczenia Ministra Klimatu i Środowiska z dnia 21 listopada 2022 r. (Dz. U. poz. 2630).

3.10. Opis pomiarów

Stacja bazowa JRS7117A usytuowana jest na wieży kratowej zlokalizowanej pod adresem 37-560 Rozbórz Długi, dz. nr 776, pow. jarosławski, woj. PODKARPACKIE. Anteny i moduły RRU zamontowane są na antenowych konstrukcjach wsporczych a urządzenia są w szafie APM zainstalowanej u podnóża wieży. W otoczeniu stacji zlokalizowana jest zabudowa jednorodzinna oraz pola uprawne. Analiza parametrów technicznych wykazała, że urządzenia nadawcze stacji pracują w paśmie częstotliwości zgodnie z tabelą 1 oraz tabelą 2. Moc wyjściowa nadajników doprowadzona jest do anten przy pomocy ekranowanych fiderów.

Pomiary w otoczeniu Stacji bazowej wykonano wzdłuż kierunków maksymalnego zasięgu oddziaływania pola elektromagnetycznego na kierunkach osi głównych wiązek anten sektorowych do odległości określonej zgodnie z wytycznymi zawartymi w instrukcji wykonywania pomiarów, podczas rzeczywistej pracy urządzeń wytwarzających pola elektromagnetyczne. Pomiary wykonano dla średniego pochylenia wiązki liczonego jako średnia arytmetyczna z minimalnej i maksymalnej wartości stosowanego lub planowanego kąta pochylenia.

Pomiary w przyjętych pionach pomiarowych wykonano w punktach położonych na wysokościach od 0,3 m do 2,0 m nad powierzchnią ziemi lub nad innymi powierzchniami, na których mogą przebywać ludzie, przyjmując za wynik pomiaru maksymalny poziom natężenie pól elektromagnetycznego.

Przy doborze pionów pomiarowych uwzględniono charakter i sposób zagospodarowania terenu otaczającego stację bazową.

3.11. Sposób identyfikacji widma częstotliwości:

Parametry stacji bazowej uzyskane od właściciela instalacji stacji bazowej.

4. WYNIKI POMIARÓW

Wyniki pomiarów ważne są jedynie dla danej konfiguracji urządzeń w dniu, w którym wykonano pomiary.

Wynik pomiaru, to maksymalna wartości chwilowa zmierzona w danym pionie pomiarowym powiększona o rozszerzoną niepewność pomiaru U dla współczynnika rozszerzenia $k = 2$ (dla poziomu ufności 95%).

Tabela 3. Dopuszczalne poziomy pól elektromagnetycznych

Parametr fizyczny Zakres częstotliwości pola elektromagnetycznego	Składowa elektryczna	Składowa magnetyczna
od 400 MHz do 2000 MHz	$1,375 \times f^{0,5}$ V/m	$0,00375 \times f^{0,5}$ A/m
Od 2 GHz do 300 GHz	61 V/m	0,16 A/m

Do wyznaczania wartości wskaźnikowych WM_E i WM_H przyjęto najniższe wartości dopuszczalne poziomów pól elektromagnetycznych w/w zakresów częstotliwości.

Tabela 4. Wyniki pomiarów

Nr pionu	Opis miejsca pomiaru	Pomiar wewnątrz pomieszczenia	Współrzędne geograficzne		Wynik poniżej progu detekcji*	E_p [V/m]	U [V/m]	$E_p + U$ [V/m]	H [A/m]	WME	WMH	Przekroczenie wartości dopuszczalnej
			[°] E	[°] N								
1	Poziom gruntu - Główny kierunek pomiarowy anteny sektorowej azymut 0st	NIE	22,487772336	49,934861575	NIE	0,82	0,18	1,00	0,003	0,04	0,036	nie przekracza
2	Poziom gruntu - Główny kierunek pomiarowy anteny sektorowej azymut 0st	NIE	22,487950874	49,935986195	TAK	<0,80	0,18	0,98	0,003	0,04	0,035	nie przekracza
3	Poziom gruntu - Główny kierunek pomiarowy anteny sektorowej azymut 0st	NIE	22,487875468	49,936961517	NIE	1,16	0,25	1,41	0,004	0,05	0,051	nie przekracza
4	Poziom gruntu - Główny kierunek pomiarowy anteny sektorowej azymut 0st	NIE	22,487777780	49,937934640	TAK	<0,80	0,18	0,98	0,003	0,04	0,035	nie przekracza
5	Poziom gruntu - pomocniczy pion pomiarowy	NIE	22,486800582	49,934200275	NIE	0,82	0,18	1,00	0,003	0,04	0,036	nie przekracza
6	Poziom gruntu - Główny kierunek pomiarowy anteny sektorowej azymut 240st	NIE	22,485852496	49,933192979	NIE	1,11	0,24	1,35	0,004	0,05	0,048	nie przekracza
7	Poziom gruntu - Główny kierunek pomiarowy anteny sektorowej azymut 240st	NIE	22,484206006	49,932614736	NIE	1,00	0,22	1,22	0,003	0,04	0,044	nie przekracza
8	Poziom gruntu - Główny kierunek pomiarowy anteny sektorowej azymut 240st	NIE	22,482349819	49,931865887	TAK	<0,80	0,18	0,98	0,003	0,04	0,035	nie przekracza
9	Poziom gruntu - Główny kierunek pomiarowy anteny radioliniowej azymut 193st	NIE	22,487716746	49,933419366	NIE	1,17	0,26	1,43	0,004	0,05	0,051	nie przekracza
10	Poziom gruntu - Główny kierunek pomiarowy anteny radioliniowej azymut 193st	NIE	22,487704884	49,932991066	TAK	<0,80	0,18	0,98	0,003	0,04	0,035	nie przekracza
11	Poziom gruntu - Główny kierunek pomiarowy anteny sektorowej azymut 140st	NIE	22,488393809	49,933367590	TAK	<0,80	0,18	0,98	0,003	0,04	0,035	nie przekracza
12	Poziom gruntu - Główny kierunek pomiarowy anteny sektorowej azymut 140st	NIE	22,489834620	49,932445309	NIE	1,02	0,22	1,24	0,003	0,04	0,044	nie przekracza
13	Poziom gruntu - Główny kierunek pomiarowy anteny sektorowej azymut 140st	NIE	22,490836419	49,931504850	NIE	1,12	0,25	1,37	0,004	0,05	0,049	nie przekracza
14	Poziom gruntu - Główny kierunek pomiarowy anteny sektorowej azymut 140st	NIE	22,491806470	49,930789594	TAK	<0,80	0,18	0,98	0,003	0,04	0,035	nie przekracza
15	Poziom gruntu - pomocniczy pion pomiarowy	NIE	22,492138032	49,930508261	NIE	1,00	0,22	1,22	0,003	0,04	0,044	nie przekracza
16	Poziom gruntu - pomocniczy pion pomiarowy	NIE	22,492677420	49,930570472	NIE	1,28	0,28	1,56	0,004	0,06	0,056	nie przekracza
17	Poziom gruntu - pomocniczy pion pomiarowy	NIE	22,492211613	49,930349099	NIE	0,92	0,20	1,12	0,003	0,04	0,040	nie przekracza
18	Poziom gruntu - pomocniczy pion pomiarowy	NIE	22,492254702	49,930104537	TAK	<0,80	0,18	0,98	0,003	0,04	0,035	nie przekracza

Nr pionu	Opis miejsca pomiaru	Pomiar wewnątrz pomieszczenia	Współrzędne geograficzne		Wynik poniżej progu detekcji*	E_p [V/m]	U [V/m]	$E_p + U$ [V/m]	H [A/m]	WME	WMH	Przekroczenie wartości dopuszczalnej
			[°] E	[°] N								
19	Poziom gruntu - pomocniczy pion pomiarowy	NIE	22,492464776	49,929815704	TAK	<0,80	0,18	0,98	0,003	0,04	0,035	nie przekracza
20	Poziom gruntu - pomocniczy pion pomiarowy	NIE	22,491818354	49,930290329	NIE	0,85	0,19	1,04	0,003	0,04	0,037	nie przekracza
21	Poziom gruntu - pomocniczy pion pomiarowy	NIE	22,491061434	49,930077726	NIE	1,05	0,23	1,28	0,003	0,05	0,046	nie przekracza
22	Poziom gruntu - pomocniczy pion pomiarowy	NIE	22,490489301	49,929898787	TAK	<0,80	0,18	0,98	0,003	0,04	0,035	nie przekracza
23	Poziom gruntu - pomocniczy pion pomiarowy	NIE	22,490142628	49,929979857	TAK	<0,80	0,18	0,98	0,003	0,04	0,035	nie przekracza
24	Poziom gruntu - pomocniczy pion pomiarowy	NIE	22,490109153	49,930357531	TAK	<0,80	0,18	0,98	0,003	0,04	0,035	nie przekracza
25	Poziom gruntu - pomocniczy pion pomiarowy	NIE	22,490067751	49,930625583	TAK	<0,80	0,18	0,98	0,003	0,04	0,035	nie przekracza
26	Poziom gruntu - pomocniczy pion pomiarowy	NIE	22,490705312	49,930700539	NIE	1,15	0,25	1,40	0,004	0,05	0,050	nie przekracza
27	Poziom gruntu - pomocniczy pion pomiarowy	NIE	22,492667891	49,930774786	NIE	1,02	0,22	1,24	0,003	0,04	0,044	nie przekracza
28	Poziom gruntu - pomocniczy pion pomiarowy	NIE	22,492710282	49,931024619	TAK	<0,80	0,18	0,98	0,003	0,04	0,035	nie przekracza
29	Poziom gruntu - pomocniczy pion pomiarowy	NIE	22,492383434	49,931379750	NIE	0,81	0,18	0,99	0,003	0,04	0,035	nie przekracza
30	Poziom gruntu - pomocniczy pion pomiarowy	NIE	22,491528980	49,931499673	TAK	<0,80	0,18	0,98	0,003	0,04	0,035	nie przekracza
31	Poziom gruntu - pomocniczy pion pomiarowy	NIE	22,489953327	49,931060626	TAK	<0,80	0,18	0,98	0,003	0,04	0,035	nie przekracza
32	Poziom gruntu - pomocniczy pion pomiarowy	NIE	22,489916212	49,931556118	TAK	<0,80	0,18	0,98	0,003	0,04	0,035	nie przekracza
33	Poziom gruntu - pomocniczy pion pomiarowy	NIE	22,489843271	49,932060536	NIE	0,88	0,19	1,07	0,003	0,04	0,038	nie przekracza

Objaśnienia:

$$E_p: E_{poprawne} = E_{wskazane} * C_{d(E)} * C_{f(f)}$$

$E_{wskazane}$ - zmierzona maksymalna wartość chwilowa natężenia pola elektrycznego

$C_{d(E)}$ – charakterystyka dynamiczna sondy – zgodna ze świadectwem wzorcowania

$C_{f(f)}$ – charakterystyka częstotliwościowa sondy – zgodna ze świadectwem wzorcowania

H – wyznaczona wartość natężenia pola magnetycznego z uwzględnieniem współczynnika korekcyjnego oraz rozszerzonej niepewności pomiaru.

WM_E - wartość wskaźnikowa poziomu oddziaływania pól elektromagnetycznych dla miejsc dostępnych dla ludności dla składowej elektrycznej pola.

WM_H - wartość wskaźnikowa poziomu oddziaływania pól elektromagnetycznych dla miejsc dostępnych dla ludności dla składowej magnetycznej pola.

* Wynik poniżej progu detekcji - wartość zmierzona poniżej zakresu akredytacji. Do obliczeń przyjęto wartość zgodną z dolną granicą akredytowanego zakresu pomiarowego metody.

Piony pomiarowe wewnątrz budynków oraz na tarasach/balkonach wyznaczono na podstawie przeprowadzonych obliczeń rozkładu pola elektromagnetycznego zgodnie z wewnętrznymi procedurami laboratorium.

5. WNIOSKI

Stwierdza się, iż na podstawie uzyskanych wyników pomiarów i informacji uzyskanych od operatora, w otoczeniu stacji bazowej telefonii komórkowej JRS7117A w miejscach dostępnych dla ludności, w których dokonano pomiaru, nie zostały przekroczone wartości graniczne poziomów pól elektromagnetycznych określonych w Rozporządzeniu Ministra Zdrowia z dnia 17 grudnia 2019 r. w sprawie dopuszczalnych poziomów pól elektromagnetycznych w środowisku (Dz. U. z 2019 r. poz. 2448).

Stwierdzenie zgodności zostało przedstawione na podstawie wyników badań oraz informacji uzyskanych od klienta (za które Laboratorium nie ponosi odpowiedzialności) dla instalacji opisanej w punkcie 2. Stwierdzenia zgodności dokonano na podstawie zasady podejmowania decyzji i wymagań zawartych w załączniku do Rozporządzenia Ministra Klimatu z dnia 17 lutego 2020 r. w sprawie sposobów sprawdzania dotrzymania dopuszczalnych poziomów pól elektromagnetycznych w środowisku (Dz.U. 2022 poz. 2630 z 15.12.2022r.).

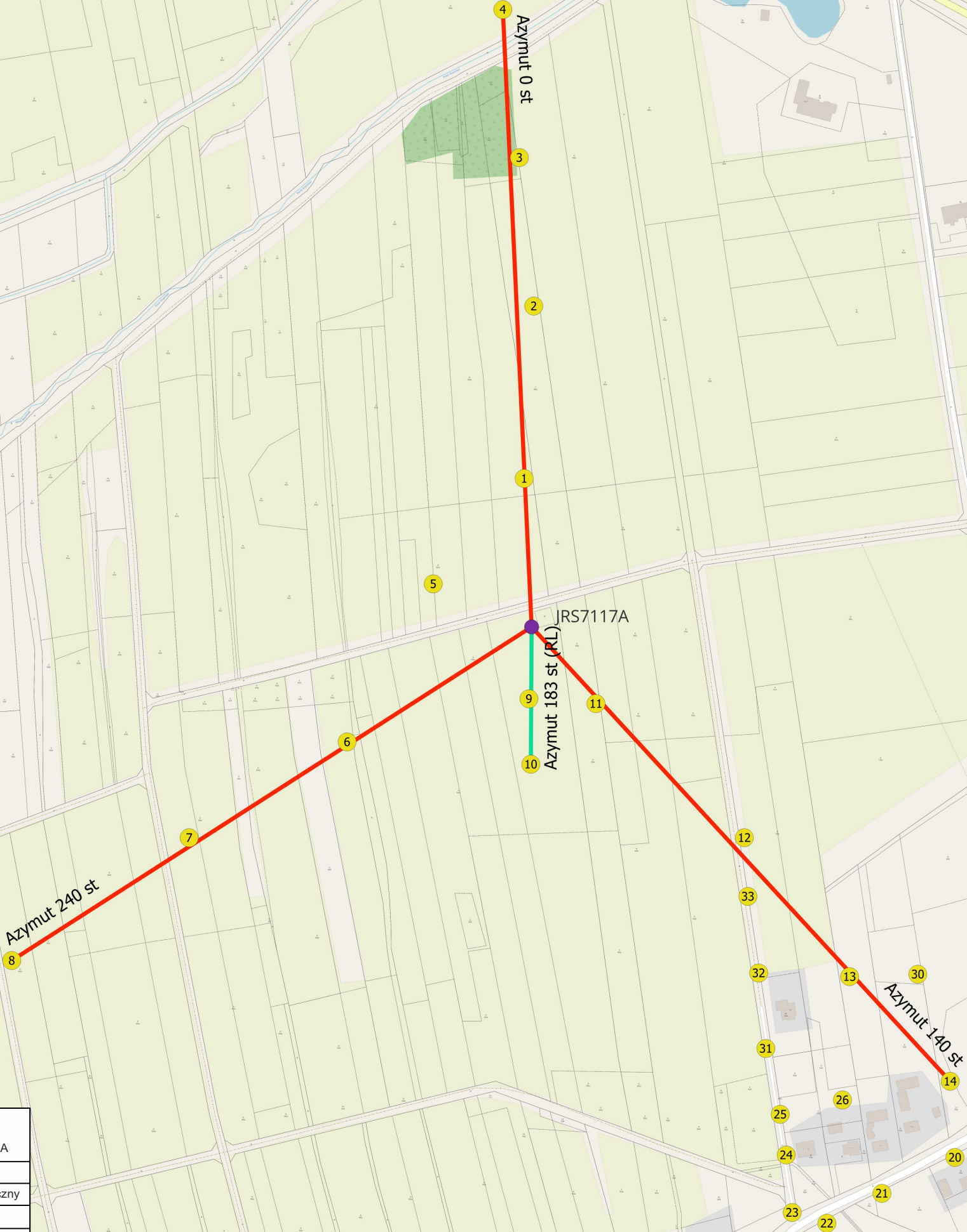
- Sprawozdanie zawiera 10 stron
- załączniki: nr 1 – mapa z rozmieszczeniem pionów pomiarowych wokół obiektu

Bez pisemnego zezwolenia laboratorium Eko-Connect sprawozdanie nie może być powielane inaczej, jak tylko w całości.

■ Otrzymują:

1. Zleceniodawca: - 1 egz.
2. a / a: 1 egz.

Koniec sprawozdania



- Legenda:
- 10 - Punkty (piony) pomiarowe
 - 10 - Punkty (piony) pomiarowe wewnątrz budynku
 - Główny kierunek pomiarowy anteny sektorowej
 - Główny kierunek pomiarowy anteny radioliniowej
 - Pomocniczy kierunek pomiarowy anteny sektorowej
 - Badana instalacja radiokomunikacyjna (P4 Sp. z o.o.)
 - Obca instalacja radiokomunikacyjna (Orange POLSKA S. A.)
 - Obca instalacja radiokomunikacyjna (Towerlink Sp. z o.o.)
 - Obca instalacja radiokomunikacyjna (T-Mobile Polska S.A.)

<div><div>EKO-CONNECT <small>LABORATORIUM BADAWCZE POLI ELEKTROMAGNETYCZNYCH</small></div></div>				Laboratorium Badawcze Eko-Connect Sp. z o.o 60-591 POZNAN, ul. MIODOWA 14A	
Objekt:	Instalacja radiokomunikacyjna JRS7117A, 37-560 Rozbórz Długi, dz. nr 776, pow. jarosławski, woj. PODKARPACKIE			Wykonał:	Mateusz Maliszewski
Inwestor:	P4 Sp. z o.o. ul.Wynalazek 1			Sprawdził:	mgr inż. Maciej Konieczny
Nazwa projektu	Sprawozdanie z pomiarów natężenia pól elektromagnetycznych wykonanych dla celów ochrony środowiska			Nr sprawozdania:	
Nazwa rysunku	Rozmieszczenie pionów pomiarowych			OS/0141/24	
Nr rysunku	JRS7117A/1	Skala	1:3500	Data:	07.02.2024